

بررسی خواص مکانیکی و حرارتی نانوکامپوزیت ترمопلاستیک الاستومر NBR/PP و نانو ذرات خاک رس

ایمان فرح بخش^{۱*}، صاحبعلی منافی^۲، مهدی شاهدی اصل^۳ و بهزاد نایبی^۴

(تاریخ دریافت: ۱۳۹۵/۱۱/۳۰، ش.ص ۱۷-۲۸، تاریخ پذیرش: ۱۳۹۶/۰۵/۰۹)

چکیده

استفاده از ترکیب‌های پلیمری و تولید ترمопلاستیک الاستومرها یکی از روش‌های بهبود خواص مکانیکی و تولید محصولات جدید با کیفیت مناسب می‌باشد. علاوه بر این استفاده از نانو ذرات خاک رس می‌تواند در خواص کامپوزیت‌های پلیمری تاثیر گذار باشد. یکی از پرکاربردترین الاستومرها در صنعت، لاستیک نیتریل بوتادین (NBR) است. از آنجایی که ترمопلاستیک الاستومر NBR/PP کاربردهای زیادی جهت مقاومت در برابر روغن و درجه حرارت‌های بالا دارد، لذا در این مقاله، به بررسی بهبود ویژگی‌های ترمопلاستیک الاستومر NBR/PP با استفاده از افزودن نانو ذرات خاک رس پرداخته شده است. توسط یک مخلوط کن آرماشگاهی، نسبت‌های ۲، ۳ و ۵ درصد وزنی نانو ذرات خاک رس با ترمопلاستیک الاستومر NBR/PP مخلوط گردید. نتایج بررسی مشخصات ساختاری با استفاده از آنالیز پراش اشعه ایکس (XRD) نشان داد که شکل‌گیری ساختار ورقه‌ای، به درصد خاک رس استفاده شده در نمونه وابسته است. همچنین نتایج اثر ساختاری نانوکامپوزیت‌ها روی خواص مکانیکی از جمله استحکام کشش، کرنش پارگی، سختی و آنالیز حرارتی TGA و DTA برای هر کدام از نمونه‌ها مورد بررسی قرار گرفت.

واژه‌های کلیدی: نانوکامپوزیت، ترکیب NBR/PP، خواص مکانیکی، نانو خاک رس، Cloisite®15A، ترمопلاستیک الاستومر.

^۱- گروه مهندسی مکانیک، واحد قوچان، دانشگاه آزاد اسلامی، قوچان، ایران

^۲- دانشکده فنی و مهندسی، دانشگاه آزاد اسلامی، واحد شاهroud، شهرroud، ایران

^۳- گروه مهندسی مکانیک، دانشکده فنی و مهندسی، دانشگاه محقق اردبیلی، اردبیل، ایران

^۴- باشگاه دانش پژوهان جوان، دانشگاه آزاد اسلامی، واحد تهران مرکز، تهران، ایران

*- نویسنده مسئول مقاله: ifarahbakhsh@gmail.com

садون و همکاران [۱۹] به آزمایش و بررسی پرکننده‌ها و تقویت کننده‌ها پرداختند و به نتایج جالب و هم پوشانی شده با مقالات قبلی دست یافتند. آن‌ها از سه روش متفاوت نوسانات صوتی، همزن دستی و برش بالا با ۳ درصد نانو رس استفاده کردند. با توجه به ساختارهای دیده شده در آزمایش‌های گوناگون، از جمله میکروسکوب الکترونی و پراش اشعه ایکس، روش برش بالا بهتر یافته‌اند؛ اما این روش مشکلاتی در بعضی از خواص ماده ایجاد می‌کند که کاهش ویسکوزیته بازترین آن است. آلمیدا [۲۰] به بررسی خواص مکانیکی و موروفولوژی مخلوط پروپیلن (PP) و لاستیک نیتریل بوتادین رابر (NBR) پرداخت و آن را از لحاظ مدت زمان پخت مورد بررسی قرار داد. او از متغیرهایی مانند مدت زمان مخلوط شدن و زمان مورد نیاز برای پخت استفاده کرد و به این نتیجه دست یافت که مدت زمان پخت با مدت زمان مخلوط شدن رابطه عکس دارد و هرچه زمان مخلوط شدن طولانی‌تر باشد مدت زمان پخت کمتر می‌شود. البته در روش‌های پخت گوناگون نتایج متفاوتی مشاهده شده است. کوبایاشی و همکاران [۲۱] به بررسی استفاده آلومینیوم سیلیکات در بستر پلی اتیلن و توزیع آن پرداخته‌اند. ابتدا نانورس ذکر شده را اصلاح، سپس پلیمر و نانورس اصلاح شده را به روش خشک با کمک آسیا غلتکی چندین بار مخلوط نمودند و پس از آن نانوکامپوزیت که کاملاً هموزن و یکنواخت شده بود را وارد مخلوط کن برش بالا کردند. بعد از چندین بار تکرار این عمل، توسط اکسترودر منفرد و دوگانه نمونه مورد نظر تهیه شد. در استفاده از دستگاه برش بالا باید این دقیق را داشت که باعث شکست بین پیوندها و تغییر آرایش می‌شود که این امر نشان دهنده توزیع مناسب نانورس در بستر پلیمری می‌باشد؛ اما باعث افت شدید ویسکوزیته نیز می‌گردد. موهان و همکارش [۲۲] به بررسی نانورس در ماتریس کامپوزیت پلی پروپیلن پرداختند. آن‌ها ابتدا نانورس را به ترکیب ذوب شده پلیمر افزودند و شاهد پخش مناسب نانورس در پلیمر شدند که با افزایش ویسکوزیته مذاب همراه بود. آن‌ها از روش اکستروژن و ریخته گری برای این کار استفاده کردند. در مقاله‌ای تیان و همکاران [۲۳] تاثیر سازگار کننده‌ها را روی مورفولوژی ترمومولاستیک الاستومر NBR/PP بررسی نمودند. آن‌ها نقش سازگار کننده‌های مختلف را مورد بررسی قرار دادند و به این نتیجه رسیدند که استفاده از فنولیک رزین و کلرید قلع به عنوان سازگار کننده تاثیر بسیار خوبی در توزیع فاز پلاستیک در ماتریس لاستیک را بوجود می‌آورند. در مقاله‌ای دیگر توسط جرج و همکاران [۲۴] که به بررسی رفتار گرمایی و کریستالیزاسیون ترکیب ترمومولاستیک الاستومر NBR/PP پرداخته‌اند، اثر دو نوع سازگار کننده (مالیک آنیدرید و فنولیک رزین) مختلف بررسی شده است و به این نتیجه رسیدند که استفاده از فنولیک رزین

پیشگفتار

ترمومولاستیک الاستومرها (TPEs) یک دسته از ترکیبات پلیمری هستند که خواص الاستیک عالی لاستیک‌ها و فرایند پذیری خوب ترمومولاستیک‌ها را باهم دارند. از سوی دیگر آن‌ها می‌توانند به راحتی بازیافت شده و به منظور ذخیره منابع نفتی و کاهش آلودگی‌های زیست محیطی دوباره استفاده شوند [۳-۱]. به همین منظور و با کاهش روز افزون منابع نفتی و افزایش قوانین زیست محیطی، TPE‌ها بیشتر مورد توجه قرار گرفته‌اند. تفاوت اصلی بین الاستومرهای ترمومولاستیک و ترمومولاستیک‌های الاستومر به نوع پیوند عرضی در ساختار آن هاست. در واقع پیوند عرضی، یک عامل ساختاری خیلی مهم در انتقال به خواص الاستیک‌های می‌باشد. با این حال بسیاری از این پلیمرها با وزن مولکولی بالا امتزاج ناپذیر و ناسازگار می‌باشند که به خواص نهایی ضعیفی منجر خواهد شد [۶-۴]. دسته‌ای از ترمومولاستیک الاستومرها با توجه به نوع فرایند جوش دینامیک به نام آلیاژهای الاستومری یا (TPVs) معرفی می‌شوند. برخی از آلیاژهای الاستومری که به صورت تجاری مورد استفاده قرار گرفته‌اند، ترکیبات EPDM/PP، NBR/PP، SR/PA و SR/PA می‌باشند [۴, ۷, ۸].

در میان سیستم‌های مختلف بکار رفته روی توسعه TPV‌ها، آن‌هایی که براساس ترکیب پلی پروپیلن (PP) و آکریلو نیتریل بوتادین رابر (NBR) می‌باشند با کاربردهایی که به منظور مقاومت در برابر روغن و کارایی در دمای‌های بالا دارد، بیشتر مورد توجه قرار گرفته است [۹-۱۱]. در مقالات متعدد اثر نسبت ترکیب لاستیک NBR با PP روی خواص مکانیکی و حرارتی آن مورد بحث قرار گرفته است [۱۲-۱۵]. در ادامه به طور گستردگی به بررسی برخی مقالات مرتبط با موضوع پرداخته می‌شود. موسی و همکارانش [۱۶] نانوکامپوزیت‌های PVC/NBR/OMMT را با خواص کششی بهبود یافته به علت پراکندگی خوب خاک رس اصلاح شده و همچنین فعل و انفعالات مناسب بین نانولایه‌ها و زمینه NBR/PVC، تهیه نمودند. توماس ساوی و همکارش [۱۷] به بررسی انواع لاستیک‌ها، پرکننده‌ها، نحوه اختلاط آن‌ها، خواص فیزیکی، نحوه پراکنش پرکننده‌ها و تقویت کننده‌ها پرداختند که می‌تواند مرجع مناسبی در زمینه تولید نانوکامپوزیت لاستیک می‌تواند باشد. مخلوط نیتریل و پلی پروپیلن با روشنی نسبتاً جدید باشد. مخلوط لاستیک‌ها، استفاده از پرکننده‌ها، تقویت کننده‌ها و بعضی از دستگاه‌های پخش آن‌ها توسط سایکتا [۱۸] معرفی شده‌اند. بن

این دو در حین فرایند خواهد شد. بنابراین اساسا وجود یک سازگارکننده خوب بین دو فاز NBR و PP جهت جوش دینامیک و همچنین توزیع مناسب خاک رس ضروری میباشد. در این مقاله سعی بر آن است تا با انتخاب یک عامل سازگار کننده خوب و توزیع مناسب نانو رس در فاز لاستیک به خواص مکانیکی بهبود یافته‌ای در این مخلوط پلیمری دست یافت. بدین منظور از دی متیل فنولیک رزین به عنوان عامل جوش دینامیک و از کلرید قلع دوابه به عنوان عامل شتاب دهنده این واکنش استفاده گردید. همچنین از نانو خاک رس مونت موریلوئیت اصلاح شده نوع Cloisite®15a به جهت سازگاری مناسب با پلیمرها به عنوان مقاوم کننده استفاده شد. نتایج حاصل از این مقاله نشان می‌دهد که استفاده از نانو خاک رس اصلاح شده Cloisite®15a، به جهت سازگاری مناسب با مواد پلیمری، خواص مکانیکی و حرارتی ترکیب NBR-PP به طور قابل توجهی بهبود می‌یابد. ضمن اینکه به ازاء افزودن ۵٪ نانوذرات خاک رس اصلاح شده، سختی و همچنین پایداری حرارتی نانوکامپوزیت افزایش یافته و درصد کاهش وزن نسبت به نمونه پایه کمتر می‌شود.

مواد و روش‌ها

مواد مصرفی

نیتریل رابر (NBR) استفاده شده در این پروژه از نوع ۳۳۴۵ مخصوص شرکت ROKEM، شامل ۳۳٪ آکریلو نیتریل می‌باشد و ویسکوزیتیه مونی آن در ۱۰۰ درجه سانتی گراد (C) ۱۰۰ °C (1+4) می‌باشد (Mooney viscosity ML (1+4) 100 °C) برابر با ۰/۴۵ گراد، مشخصه این نوع از NBR، مقاومت خوب آن در برابر روغن‌ها است. پلی پروپیلن استفاده شده در این پروژه با نام تجاری HP500N محصول پتروشیمی شازند با MFR برابر با ۱۲ g/10min می‌باشد. خاک رس استفاده شده در این پروژه، خاک رس مونت موریلوئیت اصلاح شده نوع Cloisite15a تولید شرکت Rockwood امریکا بوده که به سفارش شرکت نانوپاسارگاد نوین تهیه شده است. Cloisite®15a یک مونت موریلوئیت اصلاح شده با نمک‌های آمونیوم چهارگانه می‌باشد. سایر مواد شیمیایی استفاده شده به عنوان عامل جوش داینامیک فنولیک رزین و کلرید قلع دوابه (SnCl₂.2H₂O) هستند.

نسبت به مالئیک آندرید تاثیر بهتری در خواص گرمایی و کریستالزاسیون محصول دارد. میرا و همکاران [۲۵] خواص مکانیکی و گرمایی لاستیک NBR با نانو خاک رس را مورد بررسی قرار دادند. آن‌ها در این مقاله از نانو خاک رس مونت موریلوئیت نوع 20a cloisite استفاده نمودند. آن‌ها به این نتیجه رسیدند که در غلظت‌های بالای نانوذرات خاک رس، تجمع این ذرات امری اجتناب ناپذیر است. همچنین در این مقاله آمده است که بهبود خواص مکانیکی و گرمایی تا ۵٪ بوجود آمده است. در مقاله دیگری محلاتی و همکاران [۲۶] خواص مورفولوژیکی و گرمایی ترموپلاستیک الاستومر نانوکامپوزیت‌ها را بر پایه PA6/NBR با نانوذرات خاک رس بررسی نمودند. همچنین آن‌ها از نانو خاک رس مونت موریلوئیت نوع 30B cloisite® استفاده نمودند و نیز به منظور یکنواختی ذرات پودر خاک رس از عملیات آسیاکاری مکانیکی استفاده گردید [۲۷].

از آنجایی که پلیمرهای تقویت شده با پرکننده‌های معدنی در مقیاس نانو که اغلب به نام نانوکامپوزیت شناخته می‌شوند، یک کلاس جدید از موارد مورد علاقه دانشمندان را تشکیل می‌دهند. یکی از پرکاربردترین نانوپرکننده‌ها، نانوذرات سیلیکاتی خاک رس می‌باشد که در دو دهه گذشته بیشتر به آن توجه شده است. نانو ذرات معدنی که حداقل یک بعد آن‌ها در بازه ۱ تا ۱۰ نانومتر قرار دارد، لذا موجب بهبود خواص مکانیکی خواهد شد و نقش مهمی را در این سیستم‌ها ایفا می‌کند [۲۸]. همچنین مونت موریلوئیت (MMT) یکی از رایج ترین خاک رس‌هایی است که اغلب برای تهیه نانوکامپوزیت‌های پلیمر خاک رس استفاده می‌شود. در فرآیند آماده سازی نانو رس مبتنی بر MMT، یون‌های قابل تبادلی که در بین لایه‌های خاک رس حضور دارند، با یون‌های چهارگانه یا یون‌های آمونیوم جایگزین می‌شوند و سپس خاک رس در پلیمر میزبان پراکنده می‌شود. زمانی که این سطح بهبود یافته خاک رس در سیستم پلیمر پر می‌شود، یون آمونیوم جذب ماتریس پلیمر می‌گردد و به پراکنده‌گی نانولایه‌ها در ماتریس پلیمر کمک خواهد نمود [۲۹]. به گونه‌ای که در میزان درصدهای وزنی کم از نانو خاک رس (معمولًا تا ۵ درصد وزنی) در ماتریس پلیمر، بهبود چشمگیری در خواص فیزیکی، مکانیکی و حرارتی ملاحظه می‌گردد.

اما در مقاله حاضر، کار کمی متفاوت است؛ چون NBR و PP به دلیل تفاوت در سطح انرژی خود بسیار ناسازگار می‌باشند. این عامل موجب دشواری در پراکنده‌گی مناسب

گرفته شد، به این صورت که نمونه دمبلی با استفاده از قالب دمبلی در پرس هیدرولیک به دست آمد و سرعت کراس هد طبق استاندارد برابر 50 mm/min در نظر گرفته شد. ضخامتها برای هر نمونه اندازه‌گیری شده و به وسیله کامپیوتر به عنوان ورودی به دستگاه تست کشش وارد گردید و نهایتاً سختی نمونه‌ها با کمک دستگاه دورومتر- شرط استاندارد ASTM-D2240 اندازه گیری شد. لازم به ذکر است که ضخامت نمونه‌ها حدود 4 mm و نوع دستگاه سختی سنج Shore A مدل TH210 ساخت شرکت Time می‌باشد.

نتایج و بحث

بررسی ساختاری

در شکل ۱ الگوی XRD خاک رس Cloisite[®] 15a ارائه شده است. ملاحظه می‌گردد که پیک پراش در زاویه 2.99° اتفاق افتاده است که بیانگر فضای بین لایه‌ای خاک رس برابر $29.46A$ می‌باشد (داده‌ها بر اساس معادله پراش برآگ محاسبه شده است، که به صورت $2dsin\theta = n\lambda$ می‌باشد، که در آن d بیانگر فضای بین لایه‌ای، θ درجه بازتابش اشعه، n تعداد بازتابها که در اینجا برابر ۱ است و λ طول موج استفاده شده در آزمایش است که در اینجا برابر $1.5406A$ می‌باشد).

در شکل ۲ که نتایج آنالیز XRD برای ۲ و ۳ درصد وزنی از نانو خاک رس ارائه شده است (قسمت a و b)، این پیک به سمت درجه کمتر میل نموده است و بیانگر این است که d (فضای بین لایه‌ای) افزایش یافته و به ترتیب برابر $36.01A$ و $36.54A$ می‌باشد. درصد وزنی شده است. این نتیجه نشان می‌دهد که احتمالاً ماتریس پلیمر در فضای بین لایه‌ای خاک رس وارد شده است و فاصله بین لایه‌ها را به میزان $7A$ افزایش داده است و بیانگر این است که ساختار به دست آمده، یک ساختار بین لایه‌ای می‌باشد. (اختلاف بین ۲ و ۳ درصد وزنی با توجه به تغییر فضای بین لایه‌ای کمتر از ۳ درصد بر مبنای خطای دستگاه گذاشته شده است). در الگوی XRD نمونه ۵ درصد وزنی از خاک رس (شکل ۲ قسمت c) هیچ گونه پیک پراشی حاصل نشده است. این مطلب نشان می‌دهد که نمونه ماتریس به فضای بین لایه‌ای

فرآیند تولید

برای تولید نمونه، ابتدا NBR و PP به نسبت ۷۰ به ۳۰ در یک اینترنال میکسر مدل PL2200 ساخت شرکت برابندر در 180° درجه سانتی گراد و 80 دور در دقیقه مخلوط می‌شوند. پس از سه دقیقه یک مخلوط از فولیک رزین و کلرید قلع دو آبه با توجه به استفاده فراوان در منابع و مقالات متعدد به نسبت 10 به $0/5$ به عنوان عامل جوش اضافه می‌گردد [۲۴، ۲۳]. اختلاط به مدت ۲ دقیقه ادامه می‌باید و نانو خاک رس به آن اضافه می‌گردد، سپس اختلاط به مدت ۵ دقیقه دیگر ادامه می‌باید. لازم به ذکر است که این مدت زمان اختلاط، با توجه به تحقیقات مشابه [۳۰] انتخاب گردید. نهایتاً نمونه برای قالب گیری جهت انجام تست‌های کشش و سختی در پرس هیدرولیک در فشار 25 MPa و دمای 180°C قرار می‌گیرد. همچنین شایان ذکر است که نمونه‌ها با درصدهای وزنی 2 ، 3 و 5 از نانو خاک رس در مقابل یک نمونه بدون خاک رس به عنوان نمونه شاهد برای مقایسه با نمونه‌های حاوی خاک رس تولید شده‌اند.

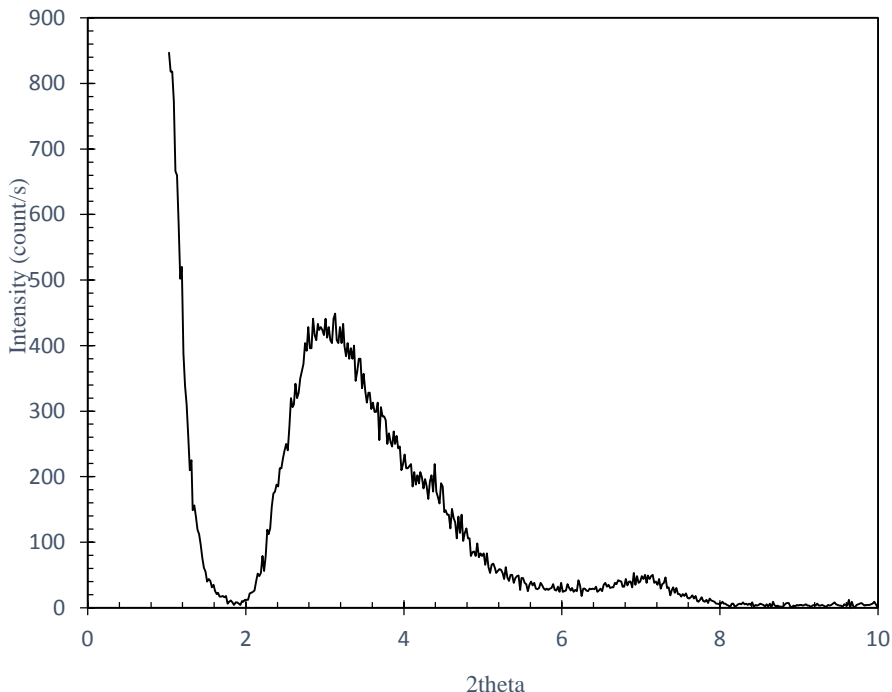
آنالیزها

بررسی ساختاری نمونه‌ها با استفاده از آنالیز پراش اشعه ایکس (XRD) مطالعه گردید. در واقع آنالیز XRD یک روش مناسب جهت تعیین فاصله بین لایه‌ای سیلیکات در سیلیکات‌های لایه شده اصلی و نانوکامپوزیت‌های بین لایه‌ای می‌باشد [۳۱]. به این منظور، از دستگاه XRD فیلیپس مدل PW3050/60 استفاده شد. اسکن مورد نظر در بازه $10-12^\circ$ درجه با گام‌های 0.1° در مدت 148 ثانیه به طور پیوسته صورت گرفت. داده‌ها براساس معادله پراش برآگ محاسبه شده است که به صورت $2dsin\theta = n\lambda$ می‌باشد که در آن d بیانگر فضای بین لایه‌ای، θ درجه بازتابش اشعه، n تعداد بازتابها که در اینجا برابر ۱ است و λ طول موج استفاده شده در آزمایش است که در اینجا برابر $1/5406A$ می‌باشد. همچنین جهت آنالیزهای TGA و DTA ۲۰ میلی‌گرم از نمونه در بوته آلومینا در اتمسفر گاز آرگون قرار گرفت. دما از 25 تا 700°C با نرخ ثابت افزایش یافته و تغییرات وزن و دما اندازه گیری شد.

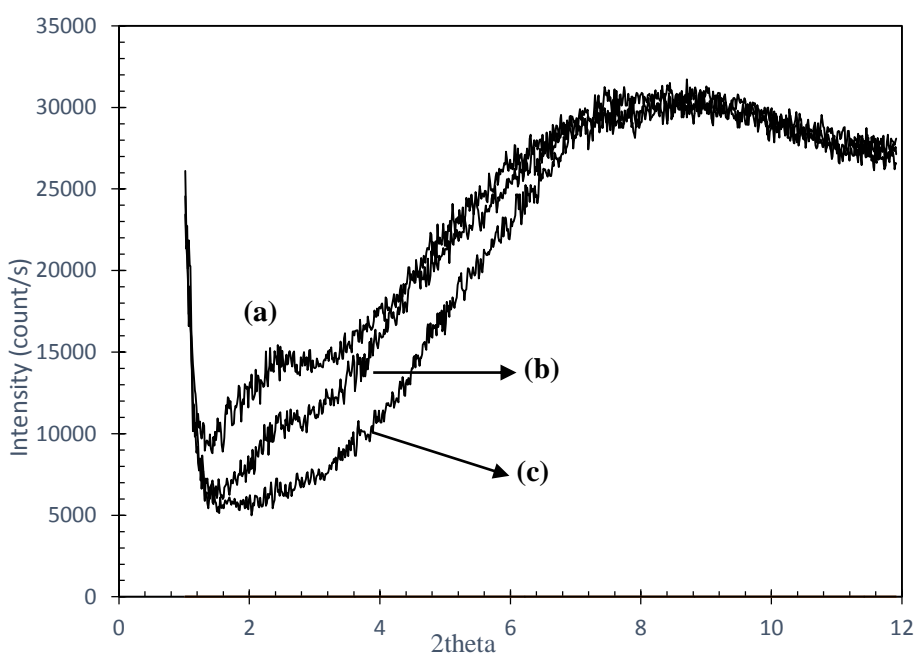
آزمون کشش طبق استاندارد ASTM-D638 در نظر

تصادفی به دست آمده از نانو لایه‌های خاک رس در ماتریس پلیمر همان ساختار ورقه‌ای شده می‌باشد.

خاک رس وارد شده است و ساختار کریستالی نانو لایه‌های خاک رس را از بین برده و ساختار آمورف ایجاد نموده است. در این صورت می‌توان گفت لایه‌های خاک رس به‌طور کاملاً تصادفی در ماتریس پلیمر پخش شده است. همچنین آرایش



شکل ۱- الگوی XRD مربوط به نانوخاک رس cloisite 15a



شکل ۲- الگوی XRD. (a) نمونه با ۲ درصد وزنی از خاک رس (b) نمونه با ۳ درصد وزنی از خاک رس (c) نمونه با ۵ درصد خاک رس

از ۲۵ تا ۷۰۰ °C نشان می‌دهد. با توجه به این شکل می‌توان دریافت که تغییرات درصد وزن باقیمانده ترمoplastیک الاستومر TPE پایه و نانوکامپوزیت خاک رس تغییرات معنی داری را ارائه می‌دهد. درصد وزن باقیمانده TPE پایه در تمام محدوده دمایی پایین‌تر از نانوکامپوزیت‌های پرشده با خاک رس می‌باشد. جدول (۳) درصد وزن باقیمانده نانوکامپوزیت‌ها را بر حسب تغییرات دما نشان می‌دهد. کاهش ۵ درصدی وزن برای TPE پایه در دمای ۳۷۷°C می‌باشد. در ۲ درصد وزنی این کاهش در ۴۰۰ °C و در ۳ و ۵ درصد وزنی به ترتیب برابر ۳۹۵ و ۴۰۳ °C می‌باشد. این کاهش دما احتمالاً در نتیجه تجمع خاک رس در نمونه ۳ درصد وزنی و ایجاد محیط‌های بیشتر در معرض تجمع ماتریس پلیمر می‌باشد.

در نتیجه تبخیر بیشتر رطوبت، TPE پایه کاهش وزن بیشتری را نسبت به نانوکامپوزیت‌های حاوی خاک رس نشان می‌دهد. به عبارت دیگر، هر چه میزان خاک رس بیشتر شود، درصد کاهش وزن در نتیجه وجود رطوبت کمتر می‌شود. این اثر ممکن است در نتیجه مقدار بیشتر رطوبت در محتويات مواد لاستیک باشد. علاوه بر این، نانو خاک رس در طبیعت به صورت آبدوست می‌باشد و از این رو به عنوان مانع در برابر رطوبت در نانوکامپوزیت‌ها عمل می‌کند. در ادامه جدول (۳) درصد وزنی نانوکامپوزیت باقی مانده در دماهای مختلف را نشان می‌دهد. مشاهده می‌گردد که تا ۴۰۰ درجه سانتی گراد وزن کاهشی حدود ۵ درصد است و در محدوده بین ۴۰۰ تا ۴۵۰ درجه سانتی گراد این کاهش خیلی شدیدتر می‌شود. همچنین این جدول نشان می‌دهد که در هر دمای مشخصی درصد وزن باقیمانده در ماتریس پایه نسبت به نانو خاک رس پر شده در ترکیب NBR-PP بالاتر است. از ۴۰۰ تا ۴۵۰ درجه سانتی گراد وزن باقیمانده در ۲ و ۵ درصد وزنی خاک رس در میان سایر نانوکامپوزیت‌ها بهتر است. از ۴۵۰ درجه سانتی گراد به بالا این ویژگی در ۵ درصد وزنی مشاهده شده است. در نهایت در مورد آنالیز TGA می‌توان گفت بهترین عملکرد در این بخش مربوط به ۵ و ۲ درصد وزنی می‌باشد.

خواص کششی

جدول (۱) اثر افزودن نانو خاک رس روی خاصیت کششی نانوکامپوزیت‌های تولیدی را نشان می‌دهد. استحکام کشش برای TPV پایه برابر $3/16 \text{ MPa}$ می‌باشد. با افزودن نانو رس در ۲ و ۳ درصد وزنی ملاحظه می‌گردد که استحکام کشش کمتر شده است و به ترتیب برابر $1/88 \text{ and } 1/95 \text{ MPa}$ شده است؛ اما در ۵ درصد وزنی مشاهده می‌گردد که مقدار استحکام کشش افزایش یافته و حدود $2/7 \text{ MPa}$ می‌باشد. این افزایش استحکام کشش در ۵ درصد وزنی نشان از توزیع مناسب نانو خاک رس در ماتریس پلیمر می‌باشد. به طور کلی از آنجا که نانوذرات خاک رس چسبندگی ضعیفی با زمینه NBR/PP دارند لذا در زمان اعمال بار، به راحتی از زمینه جدا می‌شوند. همچنین در مقادیر بالای نانوذرات خاک رس، پدیده توده شدن رخ می‌دهد که این دو، عوامل اصلی در پایین آوردن خواص مکانیکی ماده می‌باشند. همچنین کاهش استحکام کشش نمونه‌های نانوکامپوزیت بعد از افزودن نانو خاک رس نشان از ترددتر شدن نمونه‌ها دارد. کرنش پارگی^۵ نیز برای این نمونه‌ها در جدول (۱) ارائه شده است، به این صورت که با افزایش نانو خاک رس نمونه‌ها ترددتر شده‌اند؛ اما این مقدار به دلیل توزیع مناسب در ۵٪ باز هم این مطلب را که توزیع مناسبی در آن صورت گرفته اثبات می‌کند.

سختی سنجی

جدول ۲ سختی انواع نانوکامپوزیت‌های تولیدی را نشان می‌دهد. همان‌گونه که مشاهده می‌شود، میانگین سختی برای نانوکامپوزیت پایه برابر $3/85 \text{ Shore A}$ می‌باشد. این مقدار برای ۲، ۳ و ۵ درصد وزنی به ترتیب برابر $7/89 \text{ and } 7/91 \text{ Shore A}$ می‌باشد. افزایش سختی نانوکامپوزیت‌ها نشان می‌دهد که مقاومت در برابر فرورونده زمانی که نانو خاک رس‌ها در ماتریس ترکیب NBR-PP اضافه شده است، بیشتر شده است که خود نشان دهنده از افزایش تردی نمونه‌ها نیز می‌باشد.

TGA آزمون

شكل (۳) منحنی‌های TGA نانوکامپوزیت‌های مختلف را

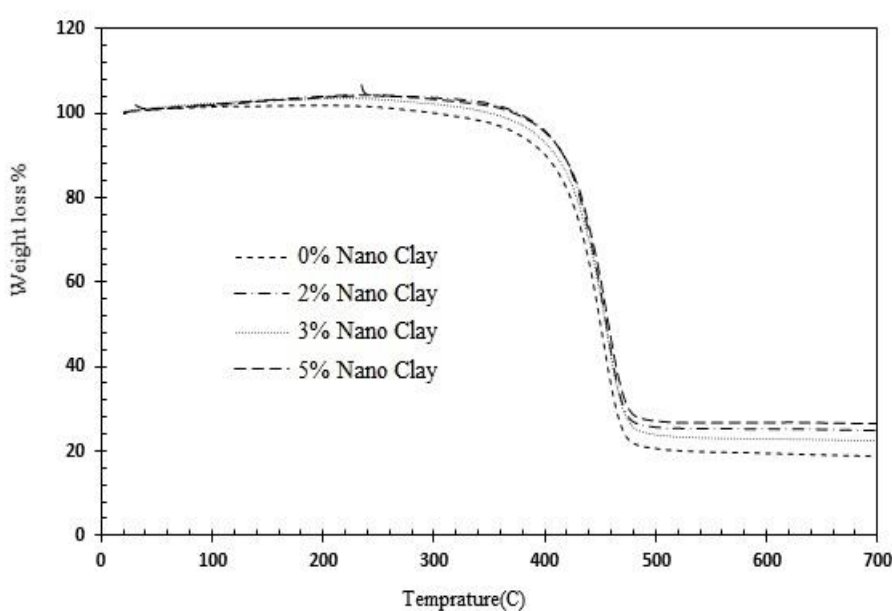
^۵ – Elongation at break

جدول ۱- خواص کششی سری‌های نانوکامپوزیت NBR-PP/clay

کرنش پارگی %	استحکام کشش Mpa	خاک رس، %
۲۳/۵	۳/۱۶	۰
۱۰/۱	۱/۸۸	۲
۱۸	۱/۹۵	۳
۲۲	۲/۷	۵

جدول ۲- سختی انواع سری‌های نانوکامپوزیت NBR-PP/clay

میانگین سختی Shore A	سختی ۳	سختی ۲	سختی ۱	خاک رس، %
۸۵/۳	۸۳/۲	۸۶/۹	۸۶	۰
۸۹/۷	۸۹/۳	۹۱	۸۹	۲
۹۱/۵	۹۰/۳	۹۱	۹۳/۳	۳
۹۲/۷	۹۲/۲	۹۰/۹	۹۲/۱	۵



شکل ۳- منحنی‌های TGA سری‌های نانوکامپوزیت NBR-PP/Clay

جدول ۳- درصد وزن باقیمانده برای سری های نانوکامپوزیت NBR-PP/Clay

درصد وزنی باقیمانده در ...						دماه کاهش ۵	NBR/PP %clay
۶۵۰°C	۶۰۰°C	۵۵۰°C	۵۰۰°C	۴۵۰°C	۴۰۰°C	درصدی وزن (C)	
۱۹/۰	۱۹/۴	۱۹/۷	۲۰/۵	۵۲/۵	۹۰/۶	۳۷۷	.
۲۵/۱	۲۵/۰	۲۵/۲	۲۵/۶	۵۸/۳	۹۵/۰	۴۰۰	۲
۲۲/۸	۲۲/۰	۲۳/۲	۲۴/۰	۵۷/۹	۹۳/۴	۳۹۵	۳
۲۶/۶	۲۶/۶	۲۶/۷	۲۷/۰	۵۸/۱	۹۵/۰	۴۰۳	۵

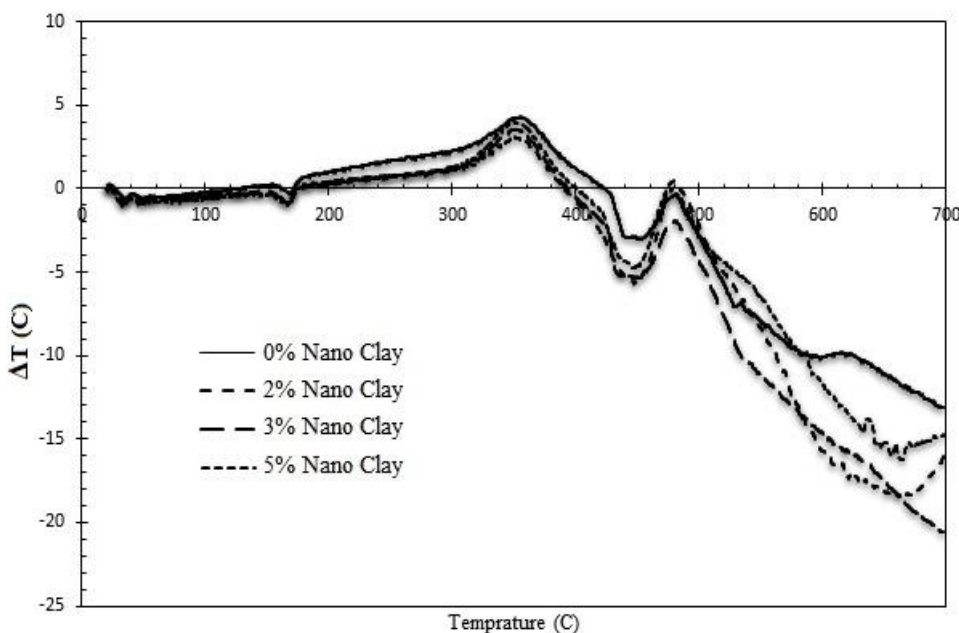
رفتار کریستالیزاسیون ترکیب با استفاده از مقدار تغییرات آنتالپی مورد بررسی قرار گرفت. به این صورت که مقدار ΔH با توجه به بررسی منابع مختلف [۳۲، ۳۳] برابر سطح زیر منحنی در قسمت کریستالیزاسیون می باشد و مقدار ΔH ذوب پلی پروپیلن برابر 149 J/gr می باشد. همان‌گونه که مشاهده می شود، ΔH ترکیب با افزایش خاک رس تغییر می کند. بررسی اثر افزودن لاستیک NBR بر ترمoplastیک PP در مقالات پیشین [۲۴] نشان داد که افزودن ذرات لاستیک در پلاستیک PP موجب کاهش مقدار ΔH و به تبع آن کاهش مقدار کریستالیزاسیون ترکیب می شود. در این مقاله کریستالیزاسیون ترکیب NBR-PP به نسبت ۷۰ درصد NBR با ۳۰ درصد PP در درصدهای مختلف خاک رس نیز با استفاده از مقدار ΔH مورد بررسی قرار گرفت. همان‌گونه که در جدول ۴ نیز گزارش شده است، افزودن خاک رس در ترکیب موجب کاهش مقدار ΔH نسبت به نمونه بدون خاک رس شد؛ اما مقدار آن با افزایش درصد خاک رس به ۵ درصد وزنی به دلیل توزیع مناسب خاک رس افزایش یافته است.

آزمون DTA

در این مقاله با استفاده از آنالیز DTA میزان کریستالیزاسیون نمونه ها، دمای ذوب و تجزیه هر یک از نمونه ها اندازه گیری شد. محاسبه دمای شیشه ای شدن برای این نمونه ها میسر نبود، چرا که طبق گزارش در مقالات پیشین [۱۲] دمای شیشه ای شدن برای این نمونه ها زیر ۲۰°C صفر است؛ اما آنالیز مربوطه در این آزمون از حدود ۲۰°C انجام شده است. نتایج آنالیز DTA برای تمام نمونه ها در شکل (۴) گزارش شده است. همچنین نتایج بدست آمده از نمودارها به طور خلاصه در جدول (۴) ارائه شده است. با توجه به این نتایج برای هر یک از نمونه ها دمای ذوب، دمای کریستالیزاسیون و تغییرات آنتالپی محاسبه شده است. پیک های موجود در محدوده ۳۵۰°C و کریستالیزاسیون ترکیب ترمoplastیک الاستومر NBR/PP و پیک های موجود در محدوده ۴۵۰°C بیانگر فرآیند ذوب نمونه ها می باشد.

جدول ۴- مشخصات ذوب و کریستالیزه ترکیب NBR-PP با درصدهای مختلف خاک رس

درصد خاک رس	دمای ذوب (°C)	آنالپی ذوب (J/gr)	آنالپی کریستالیزاسیون (J/gr)	دماه کریستالیزاسیون (°C)
%	(°C)	(J/gr)	(J/gr)	(°C)
۰	۴۵۱/۲	-۴/۱۳	۳۵۱/۳	۱۱/۳۵
۲	۴۴۱/۸	-۸/۶۷	۳۵۰/۵	۶/۱۵
۳	۴۴۸/۲	-۸/۲۱	۳۴۹/۹	۶/۸۷
۵	۴۵۰/۷	-۷/۵۵	۳۵۴/۲	۹/۲۱



شکل ۴- نمودار DTA مربوط به ترکیب های NBR-PP با درصد های مختلف خاک رس

در ۵ درصد وزنی نسبت به ۲ و ۳ درصد وزنی بیشتر شده است. افزایش استحکام کشش در ۵ درصد وزنی، نشان از

توزیع مناسب نانو خاک رس در ماتریس پلیمر می باشد.

۵. کرنش پارگی نیز، با افزایش خاک رس تا ۳ درصد کاهش می یابد؛ اما در ۵ درصد وزنی نسبت به ۲ و ۳ درصد وزنی این مقدار بیشتر است که مربوط به همان ساختار ورقه ای شدن آن می باشد.

۶. سختی نمونه ها با افزایش نانو خاک رس افزایش می یابد و بیشترین مقدار آن در ۵ درصد وزنی اتفاق افتاد.

۷. نتایج آنالیز TGA نیز پایداری حرارتی نانو کامپوزیت های حاوی خاک رس را در مقابل لاستیک پایه نشان می دهد.

۸. افزایش نانو خاک رس باعث کمتر شدن درصد کاهش وزن نانو کامپوزیت می گردد. به عبارت دیگر، هر چه میزان خاک رس بیشتر شود، درصد کاهش وزن در نتیجه وجود رطوبت کمتر می شود. علاوه بر این، نانو خاک رس در طبیعت به صورت آبدوست می باشد و از این رو به عنوان مانعی در برابر رطوبت در نانو کامپوزیت ها عمل می کند.

نتیجه گیری

۱. استفاده از نانو خاک رس اصلاح شده Cloisite®15a، به جهت سازگاری مناسب با مواد پلیمری NBR-PP موجب بهبود خواص مکانیکی و حرارتی ترکیب می گردد.

۲. روش اختلاط نمونه ها و زمان افزودن مواد، تاثیر بسیار زیادی در ساختار و خواص مکانیکی نمونه ها خواهد داشت. بهتر است هنگام تولید نمونه ها، ابتدا ترکیب ترموبلاستیک الاستومر NBR-PP تهیه شود و در مرحله آخر اقدام به افزودن نانو خاک رس به این ترکیب پلیمری گردد.

۳. ساختار نمونه ها با توجه به آزمون پراش اشعه ایکس (XRD) در ۲ و ۳ درصد وزنی به صورت ساختار بین لایه ای می باشد و در ۵ درصد وزنی این ساختار به صورت ساختار ورقه ای شده می باشد.

۴. استحکام کششی نمونه ها در ۲ و ۳ و ۵ درصد وزنی نسبت به ترکیب NBR-PP پایه کاهش یافت. این کاهش استحکام کشش نمونه های نانو کامپوزیت بعد از افزودن نانو خاک رس، نشان از تردتر شدن نمونه ها دارد؛ اما مقدار آن

References:

- 1- Coran, A.Y., R.P. Patel, and D. Williams, Rubber-thermoplastic compositions. Part V. Selecting polymers for thermoplastic vulcanizates. *Rubber Chemistry and Technology*, 1982. **55**(1): p. 116-136.
- 2- Margolis, J., In *Handbook of plastics, elastomers and composites*. 2004, McGraw-Hill, New York.
- 3- Xu, X., et al., Preparation of fully cross-linked CNBR/PP-g-GMA and CNBR/PP/PP-g-GMA thermoplastic elastomers and their morphology, structure and properties. *Journal of Polymer Science Part B: Polymer Physics*, 2004. **42**(6): p. 1042-1052.
- 4- Coran, A.Y. and R. Patel, Rubber-thermoplastic compositions. Part I. EPDM-polypropylene thermoplastic vulcanizates. *Rubber Chemistry and Technology*, 1980. **53**(1): p. 141-150.
- 5- Móczó, J. and B. Pukánszky, Polymer micro and nanocomposites: structure, interactions, properties. *Journal of Industrial and Engineering Chemistry*, 2008. **14**(5): p. 535-563.
- 6- Ge, X., et al., Effects of silane coupling agents on the properties of bentonite/nitrile butadiene rubber nanocomposites synthesized by a novel green method. *Applied Clay Science*, 2015. **118**: p. 265-275.
- 7- Basuli, U., T. Chaki, and K. Naskar, Influence of Engage® copolymer type on the properties of Engage®/silicone rubber-based thermoplastic dynamic vulcanizates. *Express Polymer Letters*, 2008. **2**(12): p. 846-854.
- 8- Naskar, K. and J.W. Noordermeer, Dynamically vulcanized PP/EPDM blends: Effects of different types of peroxides on the properties. *Rubber chemistry and technology*, 2003. **76**(4): p. 1001-1018.
- 9- George, S., et al., Blends of isotactic polypropylene and nitrile rubber: morphology, mechanical properties and compatibilization. *Polymer*, 1995. **36**(23): p. 4405-4416.
- 10-Ahmed, K., Eco-thermoplastic Elastomer Blends Developed by Compatibilizing Chlorinated Polyethylene into Industrial-Waste Filled Polypropylene Acrylonitrile Butadiene Rubber System. *Arabian journal for science and engineering*, 2015. **40**(10): p. 2929-2936.
- 11- Jose, J., A. Nag, and G. Nando, Processing and characterization of recycled polypropylene and acrylonitrile butadiene rubber blends. *Journal of Polymers and the Environment*, 2010. **18**(3): p. 155-166.
- 12- Katbab, A., M. Anaraki, and H. Nazokdast, Polypropylene/NBR thermoplastic elastomers: mechanics, rheology, crystallinity. *Iran. J. Polym. Sci. Technol.(Engl. Ed.)*, 1993. **2**(1): p. 12-18.
- 13- Sadhu, S. and A.K. Bhowmick, Effect of chain length of amine and nature and loading of clay on styrene-butadiene rubber-clay nanocomposites. *Rubber chemistry and technology*, 2003. **76**(4): p. 860-875.
- 14- Wu, Y.-P., et al., Rubber-pristine clay nanocomposites prepared by co-coagulating rubber latex and clay aqueous suspension. *Composites Science and Technology*, 2005. **65**(7): p. 1195-1202.
- 15- Mamoor, G., et al., Effect of Recycled Polypropylene on the Mechanical and Rheological Properties of Polypropylene-NBR Thermoplastic Vulcanisates. *Progress in Rubber, Plastics and Recycling Technology*, 2012. **28**(4): p. 189.
- 16- Mousa, A., N. Halim, and A. Al-Robaidi, Rheological and mechanical properties of clay-thermoplastic elastomers

- derived from PVC and NBR. *Polymer-Plastics Technology and Engineering*, 2006. **45**(4): p. 513-518.
- 17- Thomas, S. and R. Stephen, *Rubber nanocomposites: preparation, properties and applications*. 2010: John Wiley & Sons.
- 18- Sapkota, J., *Influence of Clay Modification on Curing Kinetics of Natural Rubber Nanocomposites*. 2011.
- 19- Bensadoun, F., et al., A comparative study of dispersion techniques for nanocomposite made with nanoclays and an unsaturated polyester resin. *Journal of Nanomaterials*, 2011. **2011**: p. 6.
- 20- Soares, B., et al., Mechanical and morphological properties of polypropylene/nitrile butadiene rubber compatibilized vulcanizates. *KAUTSCHUK UND GUMMI KUNSTSTOFFE*, 2006. **59**(3): p. 110.
- 21- Refat, E.-S., A. Kobayashi, and M. Al-Shamrani, High Functional Aluminosilicate/Polymer Nanocomposite. 2011.
- 22- Mohan, T.P. and K. Kanny, Effects of Synthetic and Processing Methods on Dispersion Characteristics of Nanoclay in Polypropylene Polymer Matrix Composites. *Materials Sciences and Applications*, 2011. **2**(07): p. 785.
- 23- Tian, M., et al., Dramatic influence of compatibility on crystallization behavior and morphology of polypropylene in NBR/PP thermoplastic vulcanizates. *Journal of Polymer Research*, 2012. **19**(1): p. 9745.
- 24- George, S., K. Varughese, and S. Thomas, Thermal and crystallisation behaviour of isotactic polypropylene/nitrile rubber blends. *Polymer*, 2000. **41**(14): p. 5485-5503.
- 25- Balachandran, M. and S. Bhagawan, Mechanical, thermal and transport properties of nitrile rubber (NBR)-nanoclay composites. *Journal of Polymer Research*, 2012. **19**(2): p. 9809.
- 26- Mahallati, P., A. Arefazar, and G. Naderi, Thermal and morphological properties of thermoplastic elastomer nanocomposites based on PA6/NBR. *Iranian Journal of Chemical Engineering*, 2011. **8**(1): p. 57.
- ۲۷- فرح بخش، ایمان، همکاران، بررسی تاثیر پارامتر مدت زمان آسیاکاری و قطر گلوله بر تشکیل محلول جامد و پوشش مکانیکی سطح در حضور پودر مسی و گلوله نیکلی. *فصلنامه علمی - پژوهشی مواد نوین*، ۲۰۱۷، ۷(۳) ص: ۶۷-۸۴.
- 28- Ahmadi, S.J., et al., Mechanical properties of NBR/clay nanocomposites by using a novel testing system. *Composites Science and Technology*, 2009. **69**(15): p. 2566-2572.
- 29- Ray, S.S. and M. Okamoto, Polymer/layered silicate nanocomposites: a review from preparation to processing. *Progress in polymer science*, 2003. **28**(11): p. 1539-1641.
- 30- Jahromi, A.E., et al., Morphology and mechanical properties of polyamide/clay nanocomposites toughened with NBR/NBR-g-GMA: A comparative study. *Composites Part B: Engineering*, 2016. **90**: p. 478-484.
- 31- Krishnamoorti, R., R.A. Vaia, and E.P. Giannelis, Structure and dynamics of polymer-layered silicate nanocomposites. *Chemistry of Materials*, 1996. **8**(8): p. 1728-1734.
- 32- Gabbott, P., *Principles and applications of thermal analysis*. 2008: John Wiley & Sons.
- 33- Robinson, J.W., E.S. Frame, and G.M. Frame II, *Undergraduate instrumental analysis*. 2014: CRC Press.